

日本物理学会 2004年秋期大会
高知大学 Sep./29/04

29pSG-1
中間エネルギーにおける入射核破碎片の
角度分布

Angular distribution of projectile fragments
at intermediate energies

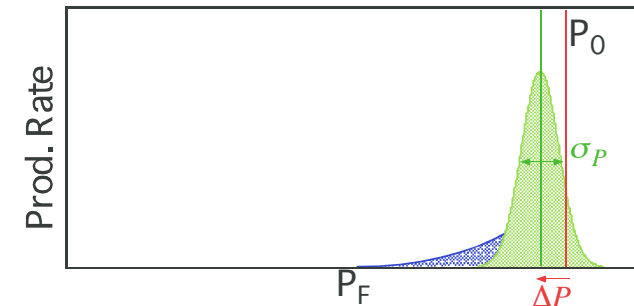
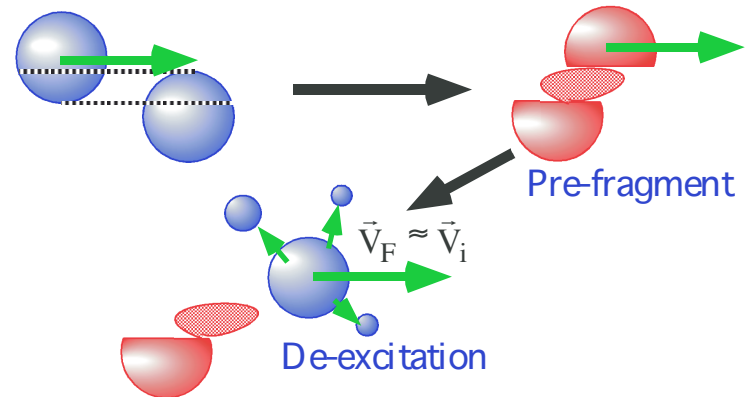
高知工科大学 百田 佐多生

共同研究者

理研	谷畑 勇夫, 吉田 光一, 森本 幸司, 大西 崇, 吉田 敦, 劉 忠
東大CNS	野谷 将広
筑波大	小沢 顕
KEK IPNS	渡辺 裕
埼玉大理	山口 貴之
放医研	金澤 光隆, 北川 敦志, 須田 充, 佐々木 誠, 佐藤真二
高知工大	野尻 洋一

1. 入射核破碎過程

Projectile fragmentation ($\approx 100 \text{ MeV/A}$)



運動量分布は
原子核の内部構造
反応メカニズム を反映する

入射核破碎過程で生成した不安定核ビームを
用いた実験
Ex. 核偏極の生成

2. 入射核破砕片の角度分布

実験的研究：



D. E. Greiner, Phys. Rev. Lett. 35 (1975) 152-

σ_L と σ_T が 10% の精度で一致



K. Van Bibber, Phys. Rev. Lett. 43 (1979) 840-

σ_T が σ_L より大きい

反応メカニズムによる σ_L , σ_T の説明

$$\sigma_L^2 = \sigma_I^2, \quad \sigma_T^2 = \sigma_I^2 + \sigma_D^2 + \sigma_C^2$$

1) 核内核子のフェルミ運動量

$$\sigma_I^2 = \frac{F(A-F)}{A-1} \sigma_0^2 \quad \sigma_0 = 90 \text{ MeV/c}$$

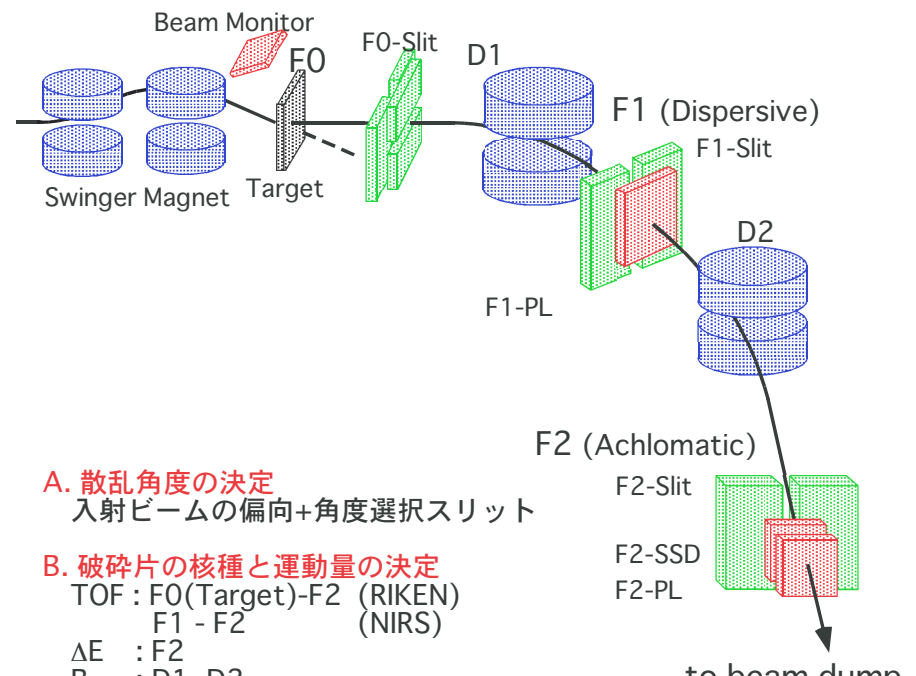
2) 標的核内における入射核の偏向

$$\sigma_D^2 = \frac{F(F-1)}{A(A-1)} \sigma_{1\perp}^2 \quad \sigma_{1\perp} = 195 \text{ MeV/c}$$

3) Coulomb final state Interaction

$$\begin{aligned} \sigma_C^2 &= \pm \frac{\sqrt{2\pi}}{4} (Z_A - Z_F) C_0 \sigma_{D\perp} + \\ &C_0^2 (Z_A - Z_F) \left\{ \frac{1}{3} + \frac{Z_A - Z_F - 1}{8} \right\} \end{aligned}$$

3. 測定



A. 散乱角度の決定

入射ビームの偏向+角度選択スリット

B. 破片の核種と運動量の決定

TOF : F0(Target)-F2 (RIKEN)
F1 - F2 (NIRS)

ΔE : F2

B_ρ : D1, D2

C. 破片の生成率の導出

ビーム強度による規格化

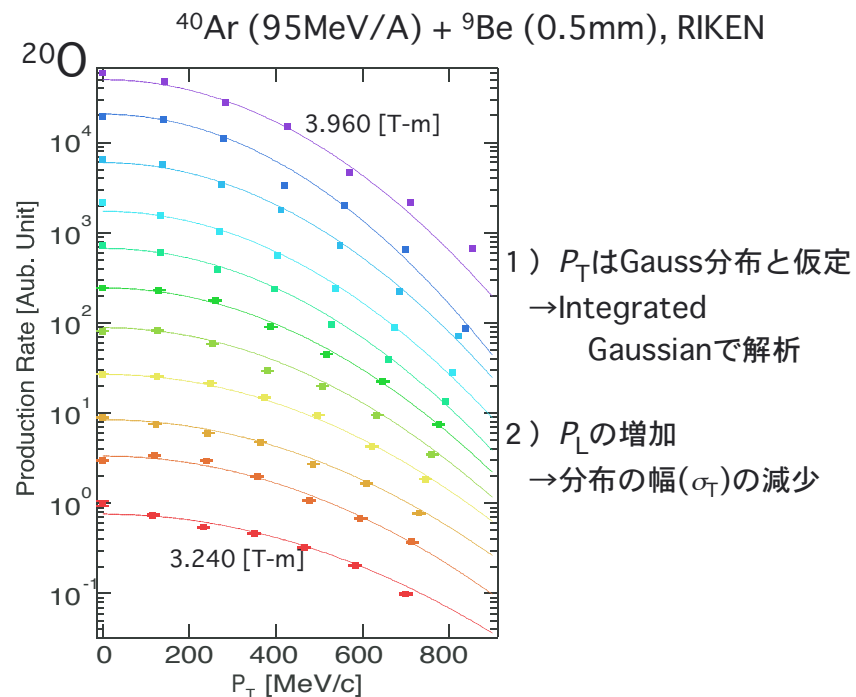
$^{40}\text{Ar} (95\text{MeV/A}) + ^9\text{Be} (0.50\text{mm})$

$^{12}\text{C} (290\text{MeV/A}) + ^{12}\text{C} (1.00\text{mm})$

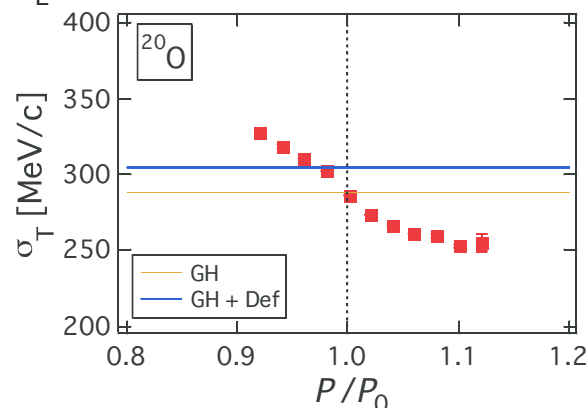
$^{12}\text{C} (290\text{MeV/A}) + ^{197}\text{Au} (0.33\text{mm})$

$^{40}\text{Ar} (290\text{MeV/A}) + ^{197}\text{Au} (0.33\text{mm})$

4. 破碎片の P_T 分布 (1)



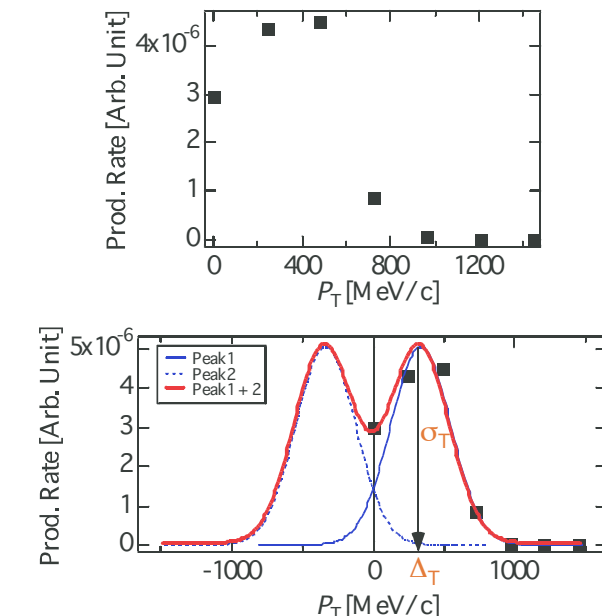
σ_T と P_L の関係



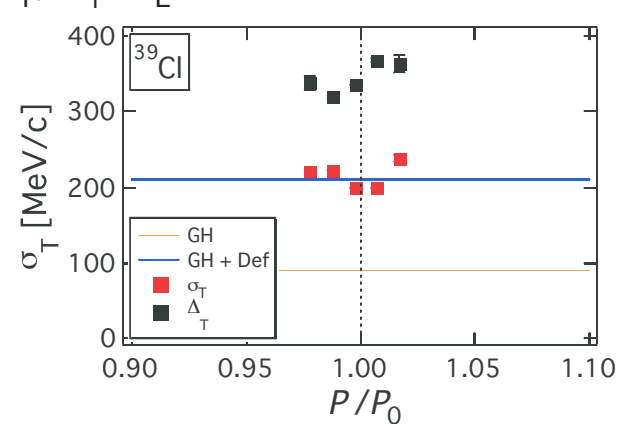
日本物理学会 2002年秋期大会で発表

4. 破碎片の P_T 分布 (2)

^{40}Ar (290MeV/A) + ^{197}Au (0.333mm), NIRS

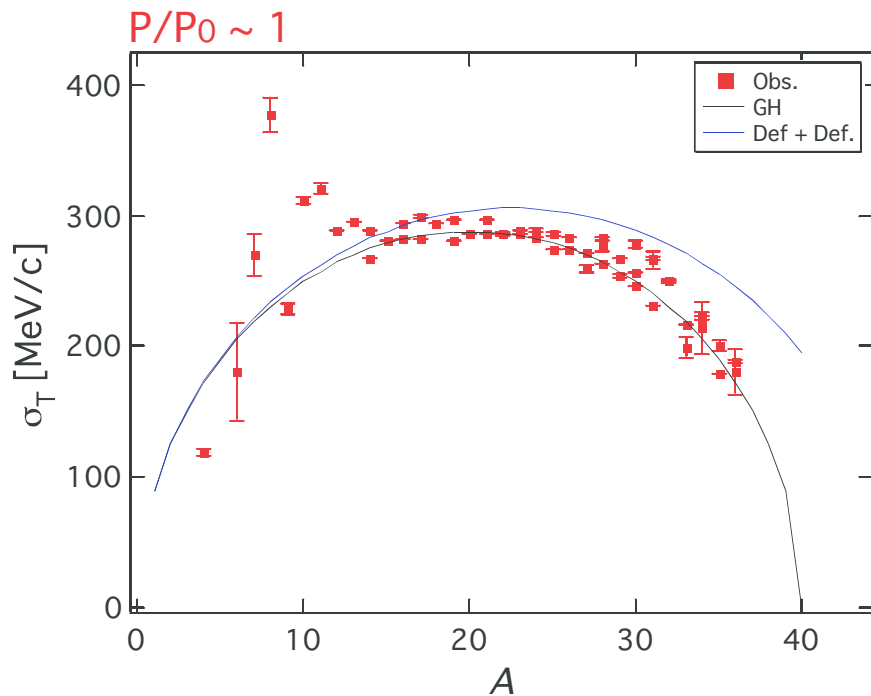


σ_T , Δ_T と P_L の関係



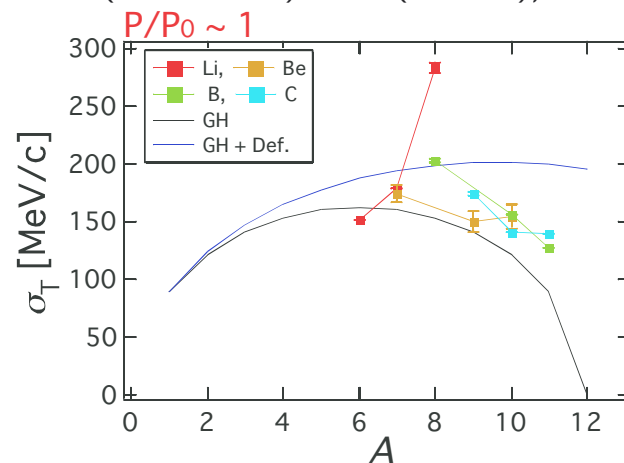
5. σ_T と A_F の関係 (1)

^{40}Ar (95MeV/A) + ^9Be (0.5mm), RIKEN

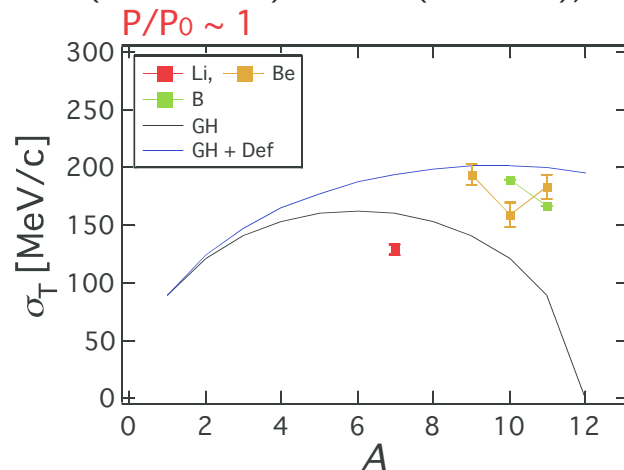


5. σ_T と A_F の関係 (2)

^{12}C (290MeV/A) + ^{12}C (1.0mm), NIRS



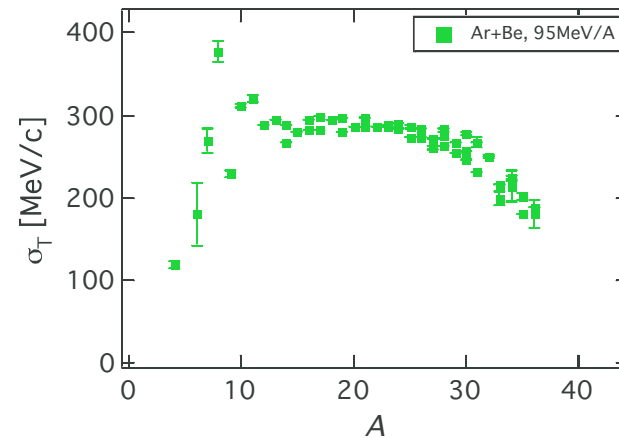
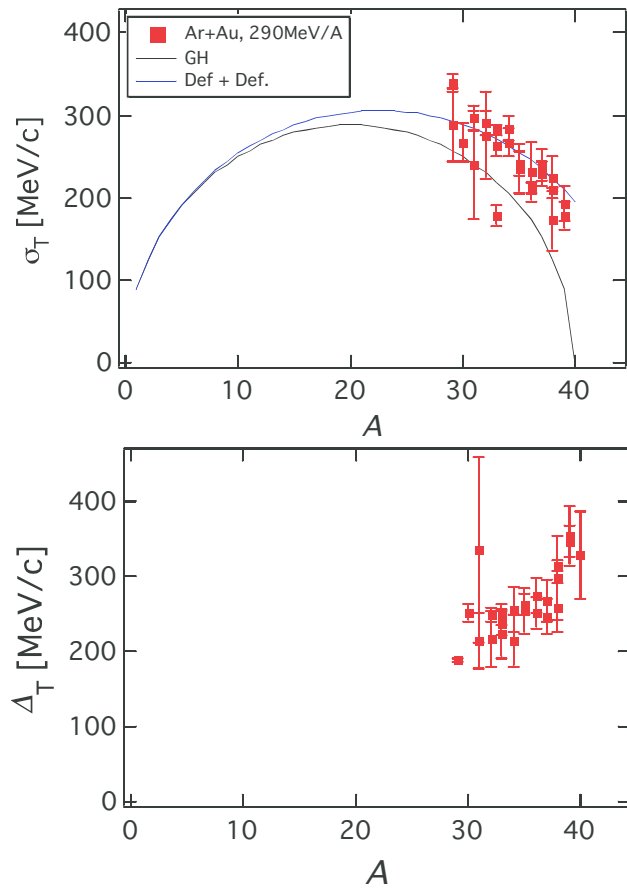
^{12}C (290MeV/A) + ^{197}Au (0.33mm), NIRS



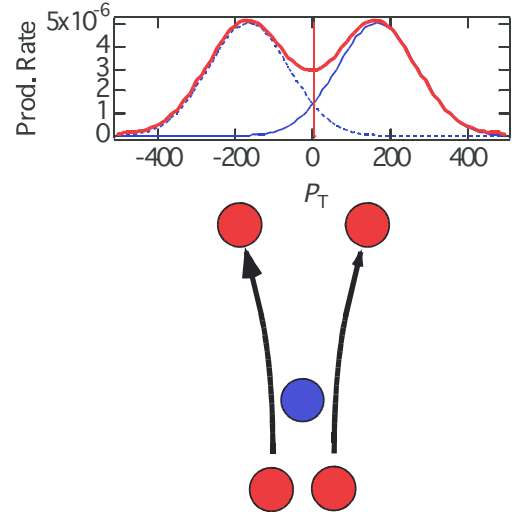
6. σ_T , Δ_T と A_F の関係

^{40}Ar (290MeV/A) + ^{197}Au (0.33mm), NIRS

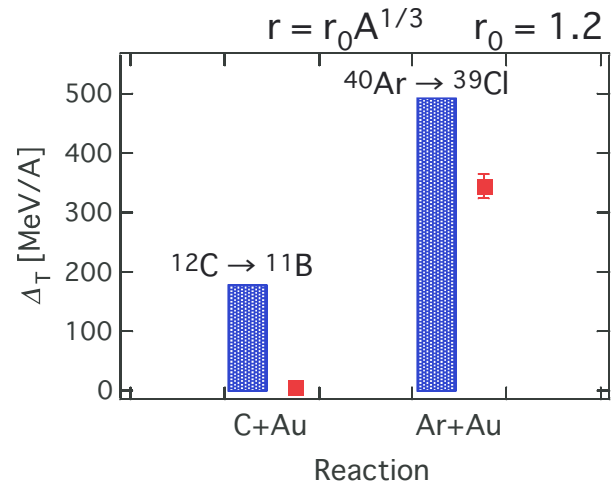
P/P₀ ~ 1



7. クーロン散乱による破砕片の偏向



クーロン散乱による破砕片の偏向を古典的に導出



8. まとめ

1) ^{40}Ar (290 MeV/A) + ^{197}Au の P_T 分布
分布の広がり σ_T (Goldhaber + Deflection)
+
軌道の偏向 Δ_T (クーロン力)

2) σ_T が標的やエネルギーによらずほぼ一定
 ^{40}Ar (290 MeV/A) + ^{197}Au
 ^{40}Ar (95 MeV/A) + ^9Be

3) Δ_T
 ΔA が小さいほど Δ_T は大
 ^{40}Ar (290 MeV/A) + ^{197}Au では $\Delta_T \sim 0$
C 標的では $\Delta_T \sim 0$

粒子同定

^{40}Ar (290MeV/A) + ^{197}Au (0.333mm), NIRS
 $B\rho = 69\%$

